
AHRS 倾角测量项目

操作要点：

- ◆ 零位时要求保持静止 1S。用于采集精确的零位俯仰和横滚。
- ◆ 将机翼转动到角度最小处，保持静止 1S。用于作为转轴计算参考 r 系，提高转轴计算精度。
- ◆ 加计和陀螺计算转轴的方法均要求转角越大，计算精度越高。因此求转轴阶段数据要求转动幅度范围大些。
- ◆ 每 30S 需要有一次

关键点备注

- ◆ 提高频率为 500HZ 进行静止状态判断，将各个阈值更精细调整，对数据进行野值剔除和平滑预处理。
- ◆ 在静止状态的判断中加入角速度微分判定。

功能要求描述：

机翼只有绕单轴转动一个自由度，以某个状态为参考零位，测量机翼在其他任何状态下相对参考零位的转动角度。

坐标系定义：

机翼固连坐标系 (p):

机翼转轴: y_p

IMU 固连坐标系 (b):

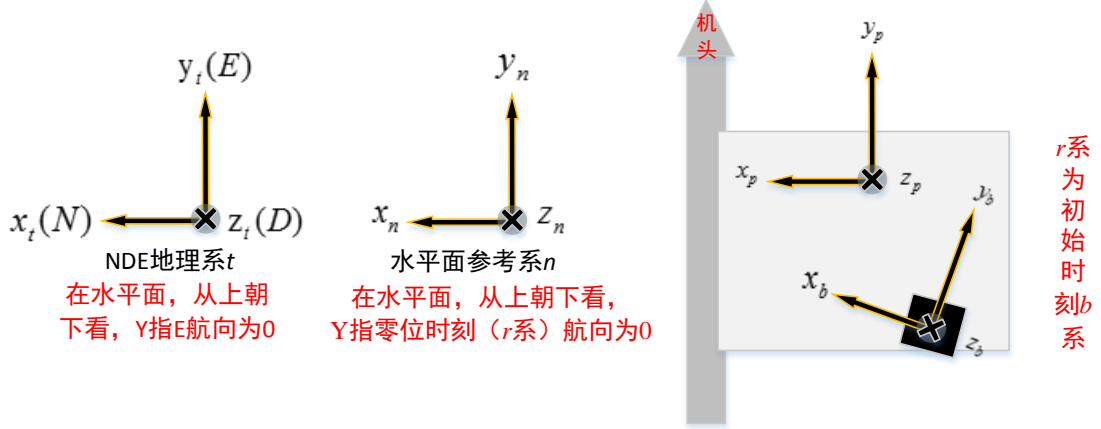
IMU 零位坐标系 (r): 零位时刻的 b 系。

NED 地理系 (t): 由于测试位置变化不大，可以认为 t 是不变的。

游动水平面坐标系 (n): n_z 轴与 t_z 重合, b_y 在 n_{xy} 的投影与 n_y 重合 (即 b 相对 n 的航向始终为 0)。

世界坐标系 (w): $w = n(0)$ 。

- ◆ 静止时，通过加计可计算得到 b 相对 n 的俯仰和横滚角，又航向为 0，因此即可得到 q_n^b 。



由于磁场干扰严重，只能利用加计和陀螺，不用磁力计。

解算方案：

输入：三轴加计数据 f^b ，三轴陀螺数据 ω_{ib}^b 。

输出：机翼绕 y_p 的转角 α 。

任意时刻单轴转角与俯仰横滚的关系

q_r^b 与机翼绕 y_p 转角 α 的关系：

$$q_r^b = \cos \frac{\alpha}{2} + y_p^r \sin \frac{\alpha}{2} \quad (0.1)$$

通过求 q_r^b 可同时求得转角 α 和转轴 y_p^r ，其中 y_p^r 应该是一个常数。

求 q_r^b ：

$$\begin{aligned} q_r^b &= (q_n^r)^{-1} \circ q_n^b \\ q_n^r \circ q_r^b &= q_n^b \end{aligned} \quad (0.2)$$

$$q_n^w \circ q_r^r \circ q_r^b = q_n^b \quad (0.3)$$

$$q_w^n = q_w^r q_r^b q_{b(t)}^{n(t)} = \begin{bmatrix} q_{sw}^n & q_{xw}^n & q_{yw}^n & q_{zw}^n \end{bmatrix}^T = \begin{bmatrix} q_{sw}^n & 0 & 0 & q_{zw}^n \end{bmatrix}^T \quad (0.4)$$

上式中， q_w^r 和 $q_{b(t)}^{n(t)}$ 已知（由初始和 t 时刻俯仰横滚得到）， v^r 已知，只有 α 一个未知数。

NOTE：等式(0.4)中 2 个方程解一个未知数存在的问题：当 $q_{n(t)}^{b(t)}$ 对应的俯仰和横滚与 y_p^r

均为理论值时，这 2 个方程应该是得到一个一致解的，但当 v^r 或者俯仰横滚有误差均会导

致这两个方程得到不同的解。从几何意义上，应该求一个使得 $\mathbf{q}_{n(t)}^{b(t)}$ 中的俯仰和横滚对应转轴

与 \mathbf{y}_p^r 最接近的 α 。对应的数学表达为：使 $\mathbf{J} = \mathbf{q}_{xn(0)}^{n(t)2} + \mathbf{q}_{yn(0)}^{n(t)2}$ 最小。

α 的精度主要取决于 $\mathbf{q}_{n(t)}^b$ 的精度。静态时 $\mathbf{q}_{n(t)}^b$ 仅由加计即可求得，要得到 0.1° 测角精度，加计常漂估计误差大约要求在 0.5mg 以内。这样的话，需要考虑温度的影响。

动态过程中，采用积分方法。设积分时间为 30s ，要求角度积分误差在 0.3° 以内，则要求陀螺漂移在 $0.01^\circ/\text{s}$ 内。ADIS16362 的陀螺常漂为 $3^\circ/\text{s}$ ，常漂稳定性为 $0.007^\circ/\text{s}$ ，温度影响为 $0.01^\circ/\text{s}/^\circ\text{C}$ 。在补偿温度影响的影响下勉强可以做到。但感觉和困难。。。

这种方法的**思想**是：只要俯仰和横滚，再利用单自由度约束就可直接得到转角 α ，且同时可将航向解出。由于通过加计求俯仰和横滚的精度较高，不需要航向的算法可得到更高的精度。

(A) 零位获取

静止时通过加计得到 \mathbf{q}_n^b ，零位时 $\mathbf{q}_w^r = \mathbf{q}_n^b(0)$ 。

(B) 转轴获取

(B1) 静态转轴获取（纯加计）

纯利用加速度计求 \mathbf{y}_p^r

$$\mathbf{q}_r^b = \cos \frac{\alpha}{2} + \mathbf{y}_p^r \sin \frac{\alpha}{2} \quad (0.5)$$

$$\begin{aligned} \mathbf{q}_w^n &= \mathbf{q}_w^r \mathbf{q}_r^b \mathbf{q}_{b(t)}^{n(t)} = \begin{bmatrix} \mathbf{q}_{sw}^n & \mathbf{q}_{xw}^n & \mathbf{q}_{yw}^n & \mathbf{q}_{zw}^n \end{bmatrix}^T = \begin{bmatrix} \mathbf{q}_{sw}^n & 0 & 0 & \mathbf{q}_{zw}^n \end{bmatrix}^T \\ &= \mathbf{M}^*(\mathbf{q}_{b(t)}^{n(t)}) \mathbf{M}(\mathbf{q}_w^r) \mathbf{q}_r^b = \mathbf{A} \mathbf{q}_r^b \end{aligned} \quad (0.6)$$

$$\mathbf{A} = \begin{bmatrix} \mathbf{A}_1 \\ \mathbf{A}_2 \\ \mathbf{A}_3 \\ \mathbf{A}_4 \end{bmatrix} \quad \begin{bmatrix} \mathbf{A}_2 \\ \mathbf{A}_3 \end{bmatrix} \mathbf{q}_r^b = \begin{bmatrix} 0 \\ 0 \end{bmatrix}$$

将规范的 \mathbf{q}_r^b 转换为矢量显示形式（注意变为非规范化四元数）：

$$\hat{\mathbf{q}}_r^b = \frac{\mathbf{q}_r^b}{\sin \frac{\alpha}{2}} = \cot \frac{\alpha}{2} + \mathbf{y}_p^r \quad (0.7)$$

当 $\sin \frac{\alpha}{2} \neq 0$,

$$\begin{bmatrix} \mathbf{A}_2 \\ \mathbf{A}_3 \end{bmatrix} \hat{\mathbf{q}}_r^b = \begin{bmatrix} \mathbf{A}_{2,1} & \mathbf{A}_{2,2} & \mathbf{A}_{2,3} & \mathbf{A}_{2,4} \\ \mathbf{A}_{3,1} & \mathbf{A}_{3,2} & \mathbf{A}_{3,3} & \mathbf{A}_{4,4} \end{bmatrix} \begin{bmatrix} \cot \frac{\alpha}{2} \\ \mathbf{y}_p^r \end{bmatrix} = \begin{bmatrix} 0 \\ 0 \end{bmatrix} \quad (0.8)$$

其中 $|\mathbf{y}_p^r| = 1$

$$\mathbf{A}_s = \begin{bmatrix} \mathbf{A}_{2,1} \\ \mathbf{A}_{3,1} \end{bmatrix}_{2 \times 1} \quad \mathbf{A}_v = \begin{bmatrix} \mathbf{A}_{2,2} & \mathbf{A}_{2,3} & \mathbf{A}_{2,4} \\ \mathbf{A}_{3,2} & \mathbf{A}_{3,3} & \mathbf{A}_{4,4} \end{bmatrix}_{2 \times 3}$$

$$\begin{bmatrix} \mathbf{A}_s & \mathbf{A}_v \end{bmatrix}_{2 \times 4} \begin{bmatrix} \cot \frac{\alpha}{2} \\ \mathbf{y}_p^r \end{bmatrix}_{4 \times 1} = \mathbf{0}_{2 \times 1} \quad (0.9)$$

其中 $|\mathbf{y}_p^r| = 1$

式(0.8)中, 3 个未知数, 2 个齐次方程。解不出来。每增加一组方程, 增加 1 个未知数和 2 个方程。2 组以上的方程可解得。且求得转轴 \mathbf{y}_p^r 的同时可得到转角 α 。

K 个点得到方程组:

$$\begin{bmatrix} \mathbf{A}_v^1 & \mathbf{A}_s^1 & \mathbf{0} & \mathbf{0} & \dots \\ \mathbf{A}_v^2 & \mathbf{0} & \mathbf{A}_s^2 & \mathbf{0} & \dots \\ \mathbf{A}_v^3 & \mathbf{0} & \mathbf{0} & \mathbf{A}_s^3 & \dots \\ \vdots & \vdots & \vdots & \vdots & \ddots \end{bmatrix}_{(2k) \times (3+k)} \begin{bmatrix} \mathbf{y}_p^r \\ \cot \frac{\alpha_1}{2} \\ \cot \frac{\alpha_2}{2} \\ \cot \frac{\alpha_3}{2} \\ \vdots \\ \cot \frac{\alpha_k}{2} \end{bmatrix}_{(3+k) \times 1} = \mathbf{D}_{(2k) \times (3+k)} \mathbf{X}_{(3+k) \times 1} = \mathbf{0}_{(2k) \times 1} \quad (0.10)$$

其中 $|\mathbf{y}_p^r| = 1$

采用最小二乘解法:

$$\mathbf{D}_{(2k) \times (3+k)} \mathbf{X}_{(3+k) \times 1} = \mathbf{0}_{(2k) \times 1}$$

$$(\mathbf{D}^T \mathbf{D})_{(3+k) \times (3+k)} \mathbf{X}_{(3+k) \times 1} = \mathbf{0}_{(3+k) \times 1} \quad (0.11)$$

其中 $\mathbf{y}_p^r = \mathbf{X}(1:3), |\mathbf{y}_p^r| = 1$

转轴解算数据选择

选择转动角度 $\alpha > 30^\circ$ 的点进行转轴解算。问题是转轴没有解算出来角度是未知的。想到 2 中粗略的方案: (1) 用俯仰横滚作粗略的判断; (2) 用陀螺仪计算转角, 作为判断依据。方法 (2) 的问题是纯加计求转轴的数据中, 角速度是很慢的, 可能平均角速度能到 $5^\circ/\text{s}$ 。

另外导致这种方法失去只用加计的便捷性。

先试试方法（1），限定 t 时刻俯仰和横滚为如下条件时满足解算转轴的要求：

1）假定 t 时刻的航向和初始时刻的航向都为 0 ，得到一个转角，要求这个转角大于 30° 。

即假设 $n = w$ ，则 $Q_r^b = Q_r^w \circ Q_n^b$ 中的转角大于 30° 。

2） t 时刻为 0 加速度状态。

NOTE（方程(0.10)待优化）：

➤ 方程(0.11)解个数问题：当 $r(D^T D) = 2 + k$ 时可得到唯一解。

➤ $\sin \frac{\alpha}{2}$ 很小时 \hat{q}_r^b 求解误差很大， $\sin \frac{30^\circ}{2} = 0.2588$ 已经很小，所以从 30° 以上才能

开始计算转轴。 $\sin \frac{20^\circ}{2} = 0.1736$ $\sin \frac{40^\circ}{2} = 0.3420$ $\sin \frac{50^\circ}{2} = 0.4226$ 。

➤ 应该先剔除一些离群点，而不是直接最小二乘。

➤ 纯加计求转轴一个重要优化方法：利用 $y_p^r = y_p^b$

纯加计求转轴的一个重要误差来源于 $\hat{q}_r^b = \frac{q_r^b}{\sin \frac{\alpha}{2}} = \cot \frac{\alpha}{2} + y_p^r$ 计算中 $\sin \frac{\alpha}{2}$ 较小时带来的

误差。利用 $y_p^r = y_p^b$ ，可不直接计算 y_p^r ，而通过检测出转角最小的点 r' ，而通过计算 $y_p^{r'}$ 减

小 $\sin \frac{\alpha}{2}$ 带来的误差。

（ ） 纯加计实时解算转角

由方程(0.8)可得：

$$\begin{bmatrix} A_{2,1} & A_{2,2} & A_{2,3} & A_{2,4} \end{bmatrix} \begin{bmatrix} \cot \frac{\alpha}{2} \\ y_p^r \end{bmatrix} = 0 \quad (0.12)$$

$$\cot \frac{\alpha}{2} = -\frac{[A_{2,2} \ A_{2,3} \ A_{2,4}] y_p^r}{A_{2,1}} \quad (0.13)$$

上式可解得 α 。

（B2）动态转轴获取（纯陀螺）

$$\dot{q}_w^b = \frac{1}{2} \Omega(\omega_{ib}^b) q_w^b \quad (0.14)$$

$$q_r^b = q_r^w q_w^b$$

0 时刻, $\mathbf{q}_r^b = [1 \ 0 \ 0 \ 0]$ 。采集陀螺数据 $\boldsymbol{\omega}_{ib}^b$, 利用捷联惯导积分公式(0.14), 计算得

到 $\mathbf{q}_r^b(t)$ 。 $\mathbf{q}_r^b(t) = \cos \frac{\alpha}{2} + \mathbf{y}_p^r \sin \frac{\alpha}{2}$ 中的矢量部分 \mathbf{y}_p^r 即为所求转轴在初始本体系中的矢量。

转轴 \mathbf{y}_p^r 的优化方法:

(1) 采用纯陀螺计算 \mathbf{y}_p^r 时, 由于 $\mathbf{q}_r^b(t)$ 会随时间而累积误差, \mathbf{y}_p^r 也将随时间累积误差。

$\alpha(t)$ 越大, 在对 $\mathbf{q}_r^b(t)$ 后三位进行归一化时得到矢量误差越小。因此, 采取快速转动, 取转动最大角度的方法可得到较高精度。取角度最大的 10° 部分。

由于 \mathbf{y}_p^b 与 \mathbf{y}_p^r 相等, 可从快速往复转动的最高点 to 最低点这段时间数据求取 \mathbf{y}_p^b , 并且可通过多次往复转动优化 \mathbf{y}_p^b 。

(B3) 纯陀螺积分动态转轴获取优化

定义姿态误差角 $\boldsymbol{\phi}$ 为:

$$\mathbf{I} - [\boldsymbol{\phi} \times] = \mathbf{C}_b^w \mathbf{C}_p^b = \mathbf{C}_p^w \quad (0.15)$$

状态量 $\mathbf{X} = [\boldsymbol{\varepsilon}^T \ \boldsymbol{\phi}^T \ \mathbf{y}_p^{rT}]^T$, 状态方程:

$$\begin{cases} \dot{\boldsymbol{\varepsilon}} = \mathbf{0} \\ \dot{\boldsymbol{\phi}} = \mathbf{R}_b^w \boldsymbol{\varepsilon} \\ \dot{\mathbf{y}}_p^r = \mathbf{0} \end{cases} \quad (0.16)$$

量测方程根据角速度与转轴平行的关系得到。

准确的角速度与转轴平行的关系为:

$$\mathbf{y}_p^r \times (\mathbf{C}_w^r \mathbf{C}_b^w \boldsymbol{\omega}_{ib}^b) = \mathbf{0} \quad (0.17)$$

做如下假设:

1) \mathbf{C}_w^r 没有误差

2)

利用角速度与转轴平行的关系, 在不考虑当前时刻 $\boldsymbol{\omega}_{ib}^b$ 的误差时, 可直接得到累积姿态

误差 $\boldsymbol{\phi}$:

$$\boldsymbol{\omega}_{ib}^b = \hat{\boldsymbol{\omega}}_{ib}^b - \boldsymbol{\varepsilon} \quad (0.18)$$

$$\begin{aligned}
Z_1 &= y_p^r \times (C_w^r C_b^w \omega_{ib}^b) \\
&= [y_p^r \times] C_w^r C_b^w C_b^p \omega_{ib}^b \\
&= [y_p^r \times] C_w^r (I - [\phi \times]) C_b^p \omega_{ib}^b \\
&= [y_p^r \times] C_w^r C_b^p \omega_{ib}^b - [y_p^r \times] C_w^r [\phi \times] C_b^p \omega_{ib}^b \\
&= [y_p^r \times] C_w^r C_b^p \omega_{ib}^b + [y_p^r \times] C_w^r [C_b^p \omega_{ib}^b \times] \phi \\
&= 0
\end{aligned} \tag{0.19}$$

$$\phi = -([y_p^r \times] C_w^r [C_b^p \omega_{ib}^b \times])^{-1} [y_p^r \times] C_w^r C_b^p \omega_{ib}^b \tag{0.20}$$

采用 Kalman 滤波，以 q_r^b 为状态量，(0.14)为状态方程（线性）。利用 q_r^b 的矢量部分不变建立量测方程。

量测量：

$$Z_1 = 0 \tag{0.21}$$

量测方程（线性）：

$$\begin{aligned}
q_r^b(t) &= \cos \frac{\alpha}{2} + y_p^r \sin \frac{\alpha}{2} \\
\omega_{ib}^r &= C_b^r \omega_{ib}^b \\
Z_1 &= \omega_{ib}^r \times y_p^r
\end{aligned} \tag{0.22}$$

（B4）利用加计优化陀螺积分的动态转轴获取

$$\begin{cases} \dot{q}_w^b = \frac{1}{2} \Omega(\omega_{ib}^b) q_w^b \\ \dot{v}_{wb}^w = (C_w^b)^T f^b + g^w \end{cases} \tag{0.23}$$

$$\begin{cases} \dot{\phi} = R_b^w \varepsilon \\ \delta \dot{v} = -(R_b^w f^b) \times \phi + R_b^w \nabla \end{cases} \tag{0.24}$$

$$Z_2 = (C_w^r v_{wb}^w) \bullet y_p^r \tag{0.25}$$

量测方程（线性）：

$$Z_2 = 0 \tag{0.26}$$

（C）纯陀螺转角计算

有两种计算方法，一种是积分法，一种是角速度和转轴平行法。

（C.1）角速度和转轴平行法（直接解算转角失败得到一种陀螺漂移估计的观测信息）

转轴已知，利用角速度和转轴平行，可求出转动角度。转轴平行的几何表达方法有叉乘和点乘两种数学表达方法。需要求得的未知数只有一个，叉乘得到 0 矢量有 2 个方程，点乘得到标量有 1 个未知数，均可求出转角。但又乘的方程较为复杂，点乘的方程较为简单，因

此选择点乘法解转角。

$$\begin{aligned} \mathbf{q}_r^b(t) &= \cos \frac{\alpha}{2} + \mathbf{y}_p^r \sin \frac{\alpha}{2} \\ \lambda_0 &= \cos \frac{\alpha}{2} \quad \boldsymbol{\lambda} = \mathbf{y}_p^r \sin \frac{\alpha}{2} \quad |\boldsymbol{\lambda}| = \left| \sin \frac{\alpha}{2} \right| \end{aligned} \quad (0.27)$$

$$\begin{aligned} \begin{bmatrix} 0 \\ \boldsymbol{\omega}_{ib}^r \end{bmatrix} &= \mathbf{q}_b^{r*} \circ \begin{bmatrix} 0 \\ \boldsymbol{\omega}_{ib}^b \end{bmatrix} \circ \mathbf{q}_b^r = \mathbf{q}_r^b \circ \begin{bmatrix} 0 \\ \boldsymbol{\omega}_{ib}^b \end{bmatrix} \circ \mathbf{q}_r^{b*} = \mathbf{M}^*(\mathbf{q}_r^{b*}) \mathbf{M}(\mathbf{q}_r^b) \begin{bmatrix} 0 \\ \boldsymbol{\omega}_{ib}^b \end{bmatrix} \\ &= \begin{bmatrix} \lambda_0 & \vec{\lambda}^T \\ -\vec{\lambda} & \lambda_0 \mathbf{I} + [\vec{\lambda} \times] \end{bmatrix} \begin{bmatrix} \lambda_0 & -\vec{\lambda}^T \\ \vec{\lambda} & \lambda_0 \mathbf{I} + [\vec{\lambda} \times] \end{bmatrix} \begin{bmatrix} 0 \\ \boldsymbol{\omega}_{ib}^b \end{bmatrix} \\ &= \begin{bmatrix} \lambda_0 & \vec{\lambda}^T \\ -\vec{\lambda} & \lambda_0 \mathbf{I} + [\vec{\lambda} \times] \end{bmatrix} \begin{bmatrix} -\vec{\lambda}^T \boldsymbol{\omega}_{ib}^b \\ (\lambda_0 \mathbf{I} + [\vec{\lambda} \times]) \boldsymbol{\omega}_{ib}^b \end{bmatrix} \end{aligned} \quad (0.28)$$

$$\begin{bmatrix} 0 \\ \boldsymbol{\omega}_{ib}^r \end{bmatrix} = \begin{bmatrix} -\lambda_0 \vec{\lambda}^T \boldsymbol{\omega}_{ib}^b + \vec{\lambda}^T (\lambda_0 \mathbf{I} + [\vec{\lambda} \times]) \boldsymbol{\omega}_{ib}^b \\ \vec{\lambda} \vec{\lambda}^T \boldsymbol{\omega}_{ib}^b + (\lambda_0 \mathbf{I} + [\vec{\lambda} \times])^2 \boldsymbol{\omega}_{ib}^b \end{bmatrix} \quad (0.29)$$

$$\boldsymbol{\omega}_{ib}^r = \vec{\lambda} \vec{\lambda}^T \boldsymbol{\omega}_{ib}^b + (\lambda_0 \mathbf{I} + [\vec{\lambda} \times])^2 \boldsymbol{\omega}_{ib}^b \quad (0.30)$$

由于 $\boldsymbol{\omega}_{ib}^r$ 与 $\boldsymbol{\lambda}$ 平行：

$$\begin{aligned} \boldsymbol{\omega}_{ib}^r \cdot \vec{\lambda} &= \vec{\lambda}^T (\vec{\lambda} \vec{\lambda}^T \boldsymbol{\omega}_{ib}^b + (\lambda_0 \mathbf{I} + [\vec{\lambda} \times])^2 \boldsymbol{\omega}_{ib}^b) \\ &= (|\vec{\lambda}|^2 \vec{\lambda}^T + \lambda_0^2 \vec{\lambda}^T + 2\lambda_0 \vec{\lambda}^T [\vec{\lambda} \times] + \vec{\lambda}^T [\vec{\lambda} \times]^2) \boldsymbol{\omega}_{ib}^b \\ &= (|\vec{\lambda}|^2 \vec{\lambda}^T + \lambda_0^2 \vec{\lambda}^T) \boldsymbol{\omega}_{ib}^b \\ &= (|\vec{\lambda}|^2 + \lambda_0^2) \vec{\lambda}^T \boldsymbol{\omega}_{ib}^b \\ &= \vec{\lambda}^T \boldsymbol{\omega}_{ib}^b \\ &= |\vec{\lambda}| |\boldsymbol{\omega}_{ib}^b| \end{aligned} \quad (0.31)$$

$$\lambda_0^2 = \frac{|\vec{\lambda}| |\boldsymbol{\omega}_{ib}^b|}{\vec{\lambda}^T \boldsymbol{\omega}_{ib}^b} - |\vec{\lambda}|^2 = \frac{1}{(\frac{\vec{\lambda}}{|\vec{\lambda}|})^T \frac{\boldsymbol{\omega}_{ib}^b}{|\boldsymbol{\omega}_{ib}^b|}} - |\vec{\lambda}|^2 \quad (0.32)$$

上式将 α 消除了，因此求不出 α ，等价于：

$$\mathbf{y}_p^{rT} \frac{\boldsymbol{\omega}_{ib}^b}{|\boldsymbol{\omega}_{ib}^b|} = 1 \quad (0.33)$$

等价于：

$$\mathbf{y}_p^{rT} \boldsymbol{\omega}_{ib}^b = \mathbf{y}_p^{rT} \mathbf{C}_b^r \boldsymbol{\omega}_{ib}^b = |\boldsymbol{\omega}_{ib}^b| \quad (0.34)$$

结论(0.34)的简单证明和几何理解：

$$\mathbf{y}_p^b = \mathbf{C}_r^b \mathbf{y}_p^r \quad (0.35)$$

即转轴 \mathbf{y}_p^b 在任何时刻本体系下的表达式一致的。根据这个结论，可以在零位之后遇到更好的数据时再次优化 \mathbf{y}_p^b 。

\mathbf{C}_r^b 的几何意义是绕 \mathbf{y}_p^r 旋转一个角度，从集合上和好理解：

$$\mathbf{y}_p^b = \mathbf{C}_r^b \mathbf{y}_p^r = \mathbf{y}_p^r \quad (0.36)$$

因此：

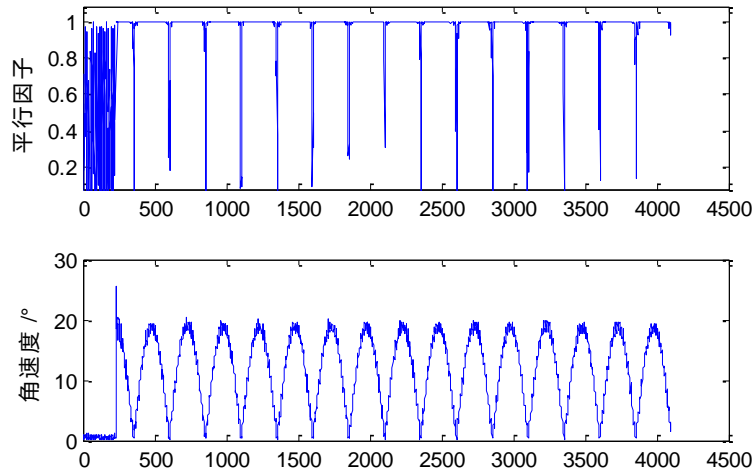
$$\mathbf{y}_p^{rT} \boldsymbol{\omega}_{ib}^b = \mathbf{y}_p^{bT} \boldsymbol{\omega}_{ib}^b = |\boldsymbol{\omega}_{ib}^b| \quad (0.37)$$

这是一个神奇的结论，r 系和 b 系的矢量居然可以直接相乘。并且这个结论已经试验验证了。当角速度大于 $2^\circ/\text{s}$ 时， $\mathbf{y}_p^{rT} \frac{\boldsymbol{\omega}_{ib}^b}{|\boldsymbol{\omega}_{ib}^b|} > 0.98$ 。当角速度大于 $8^\circ/\text{s}$ 时， $\mathbf{y}_p^{rT} \frac{\boldsymbol{\omega}_{ib}^b}{|\boldsymbol{\omega}_{ib}^b|} > 0.999$ 。

当角速度低于 $2^\circ/\text{s}$ (0.0349rad/s) 后，误差迅速增大，这是由于 $\frac{\boldsymbol{\omega}_{ib}^b}{|\boldsymbol{\omega}_{ib}^b|}$ 中由 ε 导致的误差被

$|\boldsymbol{\omega}_{ib}^b|$ 放大。

定义平行因子： $f_{\text{parallel}} = \mathbf{y}_p^{rT} \frac{\boldsymbol{\omega}_{ib}^b}{|\boldsymbol{\omega}_{ib}^b|}$



由于不需要将 $\boldsymbol{\omega}_{ib}^b$ 转换为 $\boldsymbol{\omega}_{ib}^r$ ，(0.33)关系非常有用：

1) 可用于粗略判断 \mathbf{y}_p^r 是否正确，如果在角速度大于 $5^\circ/\text{s}$ 时， $\mathbf{y}_p^{rT} \frac{\boldsymbol{\omega}_{ib}^b}{|\boldsymbol{\omega}_{ib}^b|} < 0.99$ ，可以

肯定 \mathbf{y}_p^r 的误差太大。

2) 估计陀螺漂移:

$$\boldsymbol{\omega}_{ib}^b = \hat{\boldsymbol{\omega}}_{ib}^b - \boldsymbol{\varepsilon} \quad (0.38)$$

$$\begin{aligned} \mathbf{y}_p^{rT} \frac{\hat{\boldsymbol{\omega}}_{ib}^b - \boldsymbol{\varepsilon}}{|\hat{\boldsymbol{\omega}}_{ib}^b - \boldsymbol{\varepsilon}|} &= 1 \\ \mathbf{y}_p^{rT} \boldsymbol{\varepsilon} &= \mathbf{y}_p^{rT} \hat{\boldsymbol{\omega}}_{ib}^b - |\hat{\boldsymbol{\omega}}_{ib}^b - \boldsymbol{\varepsilon}| = \left(\mathbf{y}_p^{rT} \frac{\hat{\boldsymbol{\omega}}_{ib}^b}{|\hat{\boldsymbol{\omega}}_{ib}^b|} - \frac{|\hat{\boldsymbol{\omega}}_{ib}^b - \boldsymbol{\varepsilon}|}{|\hat{\boldsymbol{\omega}}_{ib}^b|} \right) |\hat{\boldsymbol{\omega}}_{ib}^b| \\ &= \left(\mathbf{y}_p^{rT} \frac{\hat{\boldsymbol{\omega}}_{ib}^b}{|\hat{\boldsymbol{\omega}}_{ib}^b|} - 1 + 1 - \frac{|\hat{\boldsymbol{\omega}}_{ib}^b - \boldsymbol{\varepsilon}|}{|\hat{\boldsymbol{\omega}}_{ib}^b|} \right) |\hat{\boldsymbol{\omega}}_{ib}^b| \end{aligned} \quad (0.39)$$

对上式进行简化:

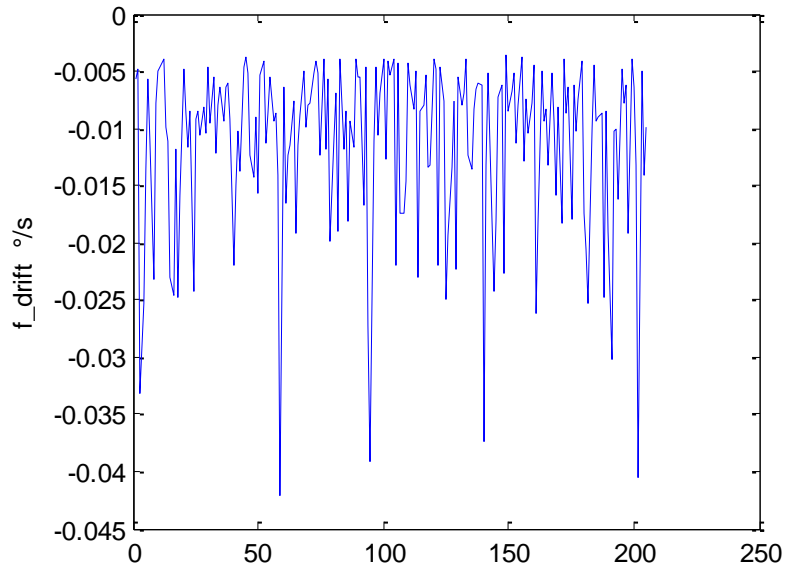
$$\frac{|\hat{\boldsymbol{\omega}}_{ib}^b - \boldsymbol{\varepsilon}|}{|\hat{\boldsymbol{\omega}}_{ib}^b|} \leq 1 + \frac{|\boldsymbol{\varepsilon}|}{|\hat{\boldsymbol{\omega}}_{ib}^b|} \quad (0.40)$$

$$\frac{|\hat{\boldsymbol{\omega}}_{ib}^b - \boldsymbol{\varepsilon}|}{|\hat{\boldsymbol{\omega}}_{ib}^b|} - 1 \leq \frac{|\boldsymbol{\varepsilon}|}{|\hat{\boldsymbol{\omega}}_{ib}^b|} \quad (0.41)$$

当 $|\hat{\boldsymbol{\omega}}_{ib}^b|$ 远大于 $|\boldsymbol{\varepsilon}|$ 时:

$$\mathbf{y}_p^{rT} \boldsymbol{\varepsilon} \approx \left(\mathbf{y}_p^{rT} \frac{\hat{\boldsymbol{\omega}}_{ib}^b}{|\hat{\boldsymbol{\omega}}_{ib}^b|} - 1 \right) |\hat{\boldsymbol{\omega}}_{ib}^b| \quad (0.42)$$

定义漂移因子 $f_drift = \mathbf{y}_p^{rT} \boldsymbol{\varepsilon}$ 。



数据源: _raw_data_4.20\Xu\ahrs1, 取角速度为19°/s以上数据计算结果如上, f_drif 的均值为-0.0113°/s。

取角速度为 15°/s 以上数据计算 f_drif 的均值为-0.0107°/s。

取角速度为 10°/s 以上数据计算 f_drif 的均值为-0.0114°/s。

取角速度为 5°/s 以上数据计算 f_drif 的均值为-0.0129°/s。

可见, 简化后 f_drift 的常值特性保持的还是比较好的。

平行->估计陀螺漂移:

量测量:

$$\mathbf{Z} = (\mathbf{y}_p^{rT} \frac{\hat{\boldsymbol{\omega}}_{ib}^b}{|\hat{\boldsymbol{\omega}}_{ib}^b|} - 1) |\hat{\boldsymbol{\omega}}_{ib}^b| \quad (0.43)$$

量测方程:

$$\mathbf{Z} = \mathbf{y}_p^{rT} \boldsymbol{\varepsilon} \quad (0.44)$$

这是非常简单的线性量测方程, 注意这个量测信息只在 $|\hat{\boldsymbol{\omega}}_{ib}^b|$ 远大于 $|\boldsymbol{\varepsilon}|$ 时有效。

(c.2) 积分法

$$\begin{aligned} \dot{\mathbf{q}}_w^b &= \frac{1}{2} \boldsymbol{\Omega}(\boldsymbol{\omega}_{ib}^b) \mathbf{q}_w^b \\ \mathbf{q}_r^b &= \mathbf{q}_r^w \mathbf{q}_w^b \end{aligned} \quad (0.45)$$

从 \mathbf{q}_r^b 中即可得转动角度。

(C) 动态俯仰横滚计算方法

当物体不在静止状态时, 可通过陀螺仪计算俯仰和横滚及 $\mathbf{q}_{n(t)}^b$ 。有两种计算方法, 一种是积分法, 一种是角速度和转轴平行法。

获得零位 \mathbf{q}_w^r 和转轴 \mathbf{y}_p^r 后, 通过陀螺仪积分的办法计算 \mathbf{q}_w^b , 并采用 Kalman 滤波, 利用转轴 \mathbf{y}_p^r 与角速度和速度垂直约束建立量测模型。当检测到静止时, 进行校准。

捷联解算:

$$\begin{cases} \dot{\mathbf{q}}_w^b = \frac{1}{2} \boldsymbol{\Omega}(\boldsymbol{\omega}_{ib}^b) \mathbf{q}_w^b \\ \dot{\mathbf{v}}_{wb}^w = (\mathbf{C}_w^b)^T \mathbf{f}^b + \mathbf{g}^w \end{cases} \quad (0.46)$$

状态量: $[\phi \quad \delta \mathbf{v} \quad \boldsymbol{\varepsilon} \quad \nabla]$

$$\begin{aligned} \mathbf{C}_w^b &= \mathbf{C}_{w,INS}^b (\mathbf{I} + [\phi \times]) \\ \mathbf{C}_b^w &= (\mathbf{I} - [\phi \times]) \mathbf{C}_b^{w,INS} \end{aligned} \quad (0.47)$$

$$\mathbf{v} = \mathbf{v}_{INS} - \delta \mathbf{v} \quad (0.48)$$

状态方程:

$$\begin{cases} \dot{\phi} = \mathbf{R}_b^w \boldsymbol{\varepsilon} \\ \delta \dot{\mathbf{v}} = -(\mathbf{R}_b^w \mathbf{f}^b) \times \phi + \mathbf{R}_b^w \nabla \end{cases} \quad (0.49)$$

量测量:

$$\begin{aligned} \mathbf{q}_r^b(t) &= \cos \frac{\alpha}{2} + \mathbf{y}_p^r \sin \frac{\alpha}{2} \\ \mathbf{Z} &= \begin{bmatrix} \mathbf{Z}_1 \\ \mathbf{Z}_2 \end{bmatrix} = \begin{bmatrix} (\mathbf{C}_w^r \mathbf{C}_b^w \boldsymbol{\omega}_{ib}^b) \times \mathbf{y}_p^r \\ (\mathbf{C}_w^r \mathbf{v}_{wb}^w) \bullet \mathbf{y}_p^r \end{bmatrix} \end{aligned} \quad (0.50)$$

量测方程:

$$\mathbf{Z} = \begin{bmatrix} (\mathbf{C}_w^r \mathbf{C}_b^w \boldsymbol{\omega}_{ib}^b) \times \mathbf{y}_p^r \\ (\mathbf{C}_w^r \mathbf{v}_{wb}^w) \bullet \mathbf{y}_p^r \end{bmatrix} = \begin{bmatrix} (\mathbf{C}_w^r (\mathbf{I} - [\phi \times]) \mathbf{C}_b^{w,INS} \boldsymbol{\omega}_{ib}^b) \times \mathbf{y}_p^r \\ (\mathbf{C}_w^r (\mathbf{v}_{wb,INS}^w - \delta \mathbf{v})) \bullet \mathbf{y}_p^r \end{bmatrix} \quad (0.51)$$

(D) 加计求俯仰和横滚 (0 运动加速度时)

0 运动加速度时, 通过加计可得到精度较高的俯仰和横滚, 可用于校准俯仰和横滚。当检测到加计的模与重力加速度的模较为接近时, 认为处于准静止状态。

以北东地地理坐标系为导航系。

$$\mathbf{C}_t^b = \mathbf{R}_{x'}(\gamma) \mathbf{R}_{y'}(\theta) \mathbf{R}_z(\psi)$$

$$\begin{aligned} &= \begin{bmatrix} \cos \theta \cos \psi & \cos \theta \sin \psi & -\sin \theta \\ \sin \gamma \sin \theta \cos \psi - \sin \psi \cos \gamma & \sin \gamma \sin \theta \sin \psi + \cos \gamma \cos \psi & \sin \gamma \cos \theta \\ \cos \gamma \sin \theta \cos \psi + \sin \gamma \sin \psi & \cos \gamma \sin \theta \sin \psi - \sin \gamma \cos \psi & \cos \gamma \cos \theta \end{bmatrix} \\ \mathbf{g}^b &= \mathbf{C}_t^b \mathbf{g}^t = \mathbf{C}_t^b \begin{bmatrix} 0 \\ 0 \\ 1 \end{bmatrix} = \begin{bmatrix} -\sin \theta \\ \sin \gamma \cos \theta \\ \cos \gamma \cos \theta \end{bmatrix} = \begin{bmatrix} g_x^b \\ g_y^b \\ g_z^b \end{bmatrix} \end{aligned} \quad (0.52)$$

$$\begin{aligned} \theta &= \sin^{-1}(-g_x^b) \quad \left[-\frac{\pi}{2}, \frac{\pi}{2} \right] \\ \gamma &= \tan^{-1}\left(\frac{g_y^b}{g_z^b}\right) \quad [-\pi, \pi] \end{aligned} \quad (0.53)$$

$$\dot{\theta} = \frac{1}{\sqrt{1 - (\sin(\theta))^2}} \quad (0.54)$$

$$\dot{\gamma} = \frac{1}{1 + (\tan \gamma)^2}$$

$$\begin{aligned} \dot{\theta}(0) &= 1 \text{ rad} = 57.296^\circ & \dot{\theta}(30^\circ) &= 1.414 \text{ rad} = 81.016^\circ \\ \dot{\theta}(60^\circ) &= 2.732 \text{ rad} = 156.532^\circ & \dot{\theta}(80^\circ) &= 8.113 \text{ rad} = 464.841^\circ \\ \dot{\gamma}(0) &= 1 \text{ rad} = 57.296^\circ & \dot{\gamma}(30^\circ) &= 0.75 \text{ rad} = 42.972^\circ \\ \dot{\gamma}(60^\circ) &= 0.25 \text{ rad} = 14.324^\circ & \dot{\gamma}(80^\circ) &= 0.03 \text{ rad} = 1.719^\circ \end{aligned} \quad (0.55)$$

g_x^b 0.01mg 误差时 θ 的误差:

$$\Delta\theta(0) = 0.0057^\circ \quad \Delta\theta(30^\circ) = 0.0066^\circ \quad \Delta\theta(60^\circ) = 0.0115^\circ \quad \Delta\theta(80^\circ) = 0.0330^\circ$$

g_x^b 0.5mg 误差时 θ 的误差:

$$\Delta\theta(0) = 0.0286^\circ \quad \Delta\theta(30^\circ) = 0.0331^\circ \quad \Delta\theta(60^\circ) = 0.0573^\circ \quad \Delta\theta(80^\circ) = 0.1663^\circ \quad (0.56)$$

g_x^b 1mg 误差时 θ 的误差:

$$\Delta\theta(0) = 0.057^\circ \quad \Delta\theta(30^\circ) = 0.081^\circ \quad \Delta\theta(60^\circ) = 0.156^\circ \quad \Delta\theta(80^\circ) = 0.465^\circ \quad (0.57)$$

g_x^b 3mg 误差时 θ 的误差:

$$\Delta\theta(0) = 0.171^\circ \quad \Delta\theta(30^\circ) = 0.243^\circ \quad \Delta\theta(60^\circ) = 0.468^\circ \quad \Delta\theta(80^\circ) = 1.395^\circ \quad (0.58)$$

g_y^b 和 g_z^b 1mg 误差时, 且 $\theta = 0$, γ 的误差:

$$\begin{aligned} \Delta\gamma(0) &= \tan^{-1}\left(\frac{10^{-3}}{1-10^{-3}}\right) - 0 = 0.0574^\circ \\ &= \tan^{-1}\left(\frac{-10^{-3}}{1+10^{-3}}\right) - 0 = 0.0572^\circ \\ \Delta\gamma(60^\circ) &= \tan^{-1}\left(\frac{\sin(60^\circ) + 10^{-3}}{\cos(60^\circ) - 10^{-3}}\right) - 60^\circ = 0.0143 \\ &= \tan^{-1}\left(\frac{\sin(60^\circ) - 10^{-3}}{\cos(60^\circ) + 10^{-3}}\right) - 60^\circ = -0.0143 \end{aligned} \quad (0.59)$$

g_y^b 和 g_z^b 1mg 误差时, 且 $\theta = 30^\circ$, γ 的误差:

$$\begin{aligned}
&= \tan^{-1}\left(\frac{10^{-3}}{\cos(30^\circ) - 10^{-3}}\right) - 0 = 0.0662^\circ \\
\Delta\gamma(0) &= \tan^{-1}\left(\frac{-10^{-3}}{\cos(30^\circ) + 10^{-3}}\right) - 0 = -0.0661^\circ \\
&= \tan^{-1}\left(\frac{\sin(60^\circ)\cos(30^\circ) + 10^{-3}}{\cos(60^\circ)\cos(30^\circ) - 10^{-3}}\right) - 60^\circ = 0.0903^\circ \\
\Delta\gamma(60^\circ) &= \tan^{-1}\left(\frac{\sin(60^\circ)\cos(30^\circ) - 10^{-3}}{\cos(60^\circ)\cos(30^\circ) + 10^{-3}}\right) - 60^\circ = -0.0904^\circ
\end{aligned} \tag{0.60}$$

g_y^b 和 g_z^b 1mg 误差时，且 $\theta = 60^\circ$ ， γ 的误差：

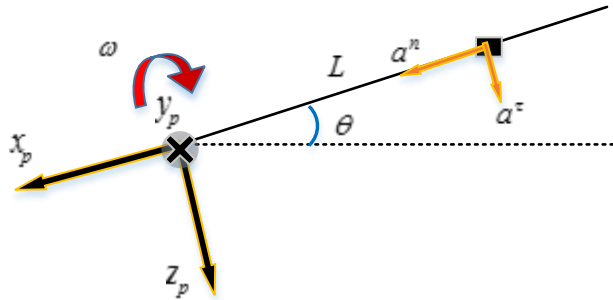
$$\begin{aligned}
&= \tan^{-1}\left(\frac{10^{-3}}{\cos(30^\circ) - 10^{-3}}\right) - 0 = 0.1148^\circ \\
\Delta\gamma(0) &= \tan^{-1}\left(\frac{-10^{-3}}{\cos(30^\circ) + 10^{-3}}\right) - 0 = -0.1144^\circ \\
&= \tan^{-1}\left(\frac{\sin(60^\circ)\cos(30^\circ) + 10^{-3}}{\cos(60^\circ)\cos(30^\circ) - 10^{-3}}\right) - 60^\circ = 0.1564^\circ \\
\Delta\gamma(60^\circ) &= \tan^{-1}\left(\frac{\sin(60^\circ)\cos(30^\circ) - 10^{-3}}{\cos(60^\circ)\cos(30^\circ) + 10^{-3}}\right) - 60^\circ = -0.1566^\circ
\end{aligned} \tag{0.61}$$

结论：

- 越接近水平，测角精度越高。
- 相同条件下，俯仰误差比横滚误差大。
- 近似有结论：对于本体系 xy 平面与水平面的夹角， 60° 时误差是 0° 的 3 倍， 80° 时误差是 0° 的 9 倍。
- （1）以俯仰和横滚 30° 为限，1mg 加计常漂时，对应的测角误差约为 0.1° 。
（2）以俯仰和横滚 60° 为限，1mg 加计常漂时，对应的测角误差约为 0.2° 。

（E）加速度为 0 状态判断

当加速度为 0 时，可用加计测量俯仰横滚。



法向加速度： $a^n = \omega^2 L$ ，切向加速度： $a^t = \dot{\omega} L$ 。

要求 $a^n = a^r = 0$ 则为零加速度状态，充要条件是：

(1) $L=0$ ，即把 IMU 模块按照在转轴线上

(2) $L=0$ 或 $L \neq 0$ ， $\omega=0$ 且 $\dot{\omega}=0$ 。

以上 2 种方法是通过陀螺判断是否零加速度。忽略加计零漂时，可通过加计模判定：

(3) $|f|=g$

0 加速度状态判断解决方案：

1) 首先，使 IMU 模块安装尽量靠近转轴

2) 对陀螺模和加计模数据做平滑滤波，设置平滑步长=? (比如 10ms, 500HZ 时的 5 个点)

3) 判断加计模与 g 之间的差是否在某个阈值内，比如 $1 \sim 3mg$ 。

4) 满足 3) 后，判断当前时刻是否满足 $\omega=0$ ，设置阈值 $\omega_{\min} = 0.3 \sim 0.5^\circ / s$

5) 满足 3) 和 4) 后，计算 $\dot{\omega}$ ，判断是否满足 $\dot{\omega}=0$ 。

由于求微分噪声比较大，采取近似措施。针对满足 $\omega=0$ 的点，检查该点附近一段时间 (比如 0.05 S) 内是否连续满足 $\omega=0$ 。

6) 同时满足以上条件则判断为 0 加速度状态。

0 加速度判断难点：

1) 0 加速度过程中偶尔会出现很短时间的数据跳动或野值，这些剧烈跳动的数据使得“角速度=0”的状态不连续，导致计算“角速度=长时间=0”区间时丢失一些长达 1S 的时间。

解决办法：

1> 对加计和陀螺做预处理，去除野值和异常的剧烈跳动数据。

直接对原始 IMU 数据进行平滑很麻烦，现直接对于采集的 IMU 数据进行步长为 0.1~0.2s 的卷积平滑，平滑对静止状态的判断非常有效。

为了增加精度，以后可改为仅对已经判断为静止的时间段 IMU 数据进行平滑。

2> 增大“角速度=0”的平滑处理程度

3> 增大“加速度模= g ”的平滑处理程度

正弦运动的加速度大小：

$$\theta = \alpha \sin(2\pi ft)$$

$$\omega = 2\pi f \alpha \cos(2\pi ft)$$

$$\dot{\omega} = -(2\pi f)^2 \alpha \sin(2\pi ft)$$

$$a^n = \omega^2 L = (2\pi f \alpha \cos(2\pi ft))^2 L$$

$$a^r = \dot{\omega} L = -(2\pi f)^2 \alpha \sin(2\pi ft) L$$

$$\blacksquare \quad f = 0.1\text{HZ} \quad \alpha = 30^\circ \quad L = 0.1 \Rightarrow \begin{matrix} a^n = 1.1mg & a^r = 2.1mg \\ \omega = 18.85^\circ / s & \dot{\omega} = 11.8435^\circ / s^2 \end{matrix}$$

$$\blacksquare \quad f = 0.1\text{HZ} \quad \alpha = 60^\circ \quad L = 0.1 \Rightarrow \begin{matrix} a^n = 4.4mg & a^r = 4.2mg \\ \omega = 37.699^\circ / s & \dot{\omega} = 23.687^\circ / s^2 \end{matrix}$$

$$\blacksquare \quad f = 0.1\text{HZ} \quad \alpha = 30^\circ \quad L = 0.05 \Rightarrow a^n = 0.55mg \quad a^r = 1.05mg \quad \omega = 18.85^\circ / s$$

$$\blacksquare \quad f = 0.1\text{HZ} \quad \alpha = 60^\circ \quad L = 0.05 \Rightarrow a^n = 2.2mg \quad a^r = 2.1mg$$

为了使 $a^n < 2mg$ $a^r < 2mg$ ，要求： $\omega < 15^\circ / s$ $\dot{\omega} < 10^\circ / s^2$ $L = 0.05$ 。

$$\blacklozenge \quad \omega = 15^\circ / s \quad \dot{\omega} = 10^\circ / s^2 \quad L = 0.1 \Rightarrow a^n = 0.6994mg \quad a^r = 1.7809mg$$

$$\blacklozenge \quad f = 0.05\text{HZ} \quad \alpha = 60^\circ \quad L = 0.1 \Rightarrow \begin{matrix} a^n = 1.1044mg & a^r = 1.0546mg \\ \omega = 18.8496^\circ / s & \dot{\omega} = 5.9218^\circ / s^2 \end{matrix}$$

安装 1 米远时加速度大小

$$\blacklozenge \quad \omega = 15^\circ / s \quad \dot{\omega} = 10^\circ / s^2 \quad L = 1 \Rightarrow a^n = 6.994mg \quad a^r = 17.809mg$$

$$\blacklozenge \quad \omega = 2^\circ / s \quad \dot{\omega} = 0^\circ / s^2 \quad L = 1 \Rightarrow a^n = 0.1243mg \quad a^r = 0mg$$

$$\blacklozenge \quad \omega = 5^\circ / s \quad \dot{\omega} = 0^\circ / s^2 \quad L = 1 \Rightarrow a^n = 0.7771mg \quad a^r = 0mg$$

(E) 静止状态判断

静止状态加速度、速度、角速度、角速度变化率都为 0。

- (1) 首先判读角速度是否为 0；
- (2) 满足 (1) 后，判断加速度模是否为 g；
- (3) 判断角速度变化率是否为 0。

(G) 运动加速度剔除

当发现持续某个时长（如 10S）没有检测到 0 加速度状态时，只能选择某个加速度较低的状态，对其进行运动加速度剔除后进行俯仰和横滚求解。

$$\begin{cases} \dot{q}_w^b = \frac{1}{2} \Omega(\omega_{ib}^b) q_w^b \\ \dot{v}_{wb}^w = (C_w^b)^T f^b + g^w \\ g^w = \dot{v}_{wb}^w - (C_w^b)^T f^b \end{cases} \quad (0.62)$$

() 数据预处理

(1) 去除野值

突变较大的数为野值。判断第 k 个点是否为野值：

对第 k-N1 到 k+N2 个点进行线性平滑，求

加计陀螺参数

陀螺零漂：3°/s，陀螺零漂稳定性：0.007°/s，角度随机游走 2°/h，陀螺零漂温度系数：0.01°/s/°C。

加计零漂：6mg，加计零漂稳定性：41μg，速率随机游走 0.09m/s/h，加计零漂温度系

数: 0.05mg/s/°C。

50HZ 静止状态参数-4.20 北航转台采集-ahrs2

meam_gyro = (-0.02, -0.07, -0.13) °/s

std_gyro = (0.33, 0.30, 0.33) °/s

meam_acc = (-1.45, 584.14, 812.82) mg

std_acc = (1.82, 1.78, 1.83) mg

max_gyro = (1.10, 0.70, 0.60) °/s

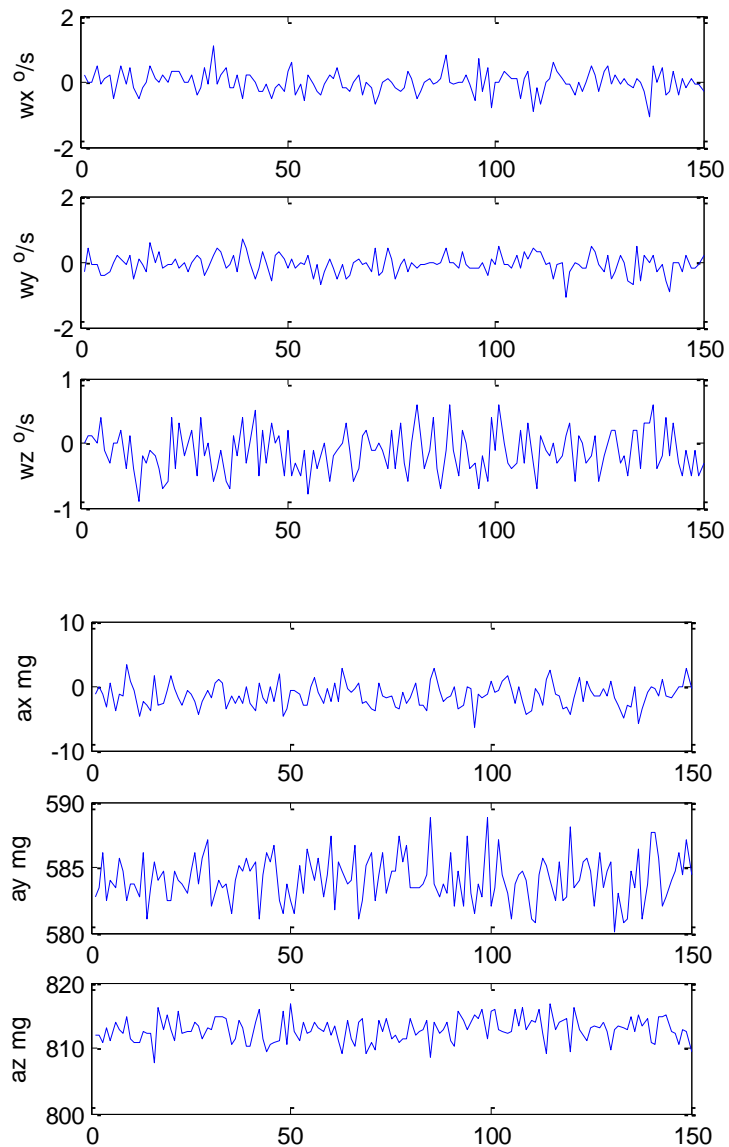
min_gyro = (-1.10, -1.10, -0.90) °/s

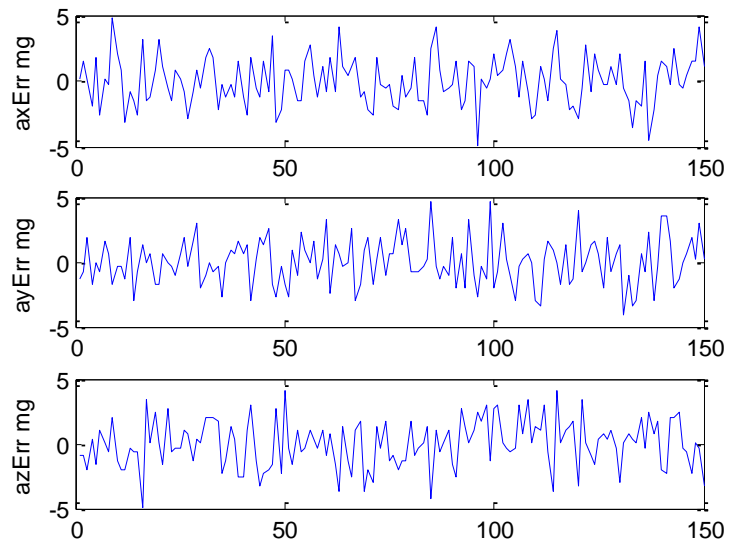
maxPlusMin_gyro = (2.20, 1.80, 1.50) °/s

max_acc = (3.33, 588.74, 816.85) mg

min_acc = (-6.33, 580.09, 807.86) mg

maxAccErr = (4.88, 4.61, 4.96) mg





50HZ 静止状态参数-4.20 办公室地面测-static1

meam_gyro = (0.06, -0.15, -0.03) °/s

std_gyro = (0.31, 0.34, 0.38) °/s

meam_acc = (-24.63, -20.34, 999.66) mg

std_acc = (1.68, 1.93, 1.81) mg

max_gyro = (1.00, 0.90, 0.90) °/s

min_gyro = (-0.80, -1.30, -0.80) °/s

maxPlusMin_gyro = (1.80, 2.20, 1.70) °/s

max_acc = (-20.98, -14.99, 1003.66) mg

min_acc = (-28.64, -24.64, 994.34) mg

maxAccErr = (4.01, 5.35, 5.32) mg

